

# I-13 スペクトル分析によるフレームタワーの耐震計算法

京都大学工学部 正貢 工博

小西一郎

京都大学工学部学生員 工修

高岡宣善

京都大学工学部学生員

國廣昌史

## 1. まえがき

これまでに行なつてきたフレームタワーの耐震計算の研究によれば、タワーと補剛桁の剛性は一般に非常に異なり、したがって両者の振動モードは互然と分離される。この研究ではフレームのタワーのみを取り出して地震に対する最も重要な最大レスポンス(最大位移)、最大曲げモーメント、最大剪断力を計算しようとするものである。この場合 Benioff, Biot により提唱された Response Spectrum という概念を用いて耐震計算を行なう方法を考へてみよう。

## 2. 運動方程式の樹立

図-1 はこれから解析しようとするタワーを模型的に示したものである。タワーは初等構造力学における課題理論としたが、等間隔分割点上に分布荷重が集中していふと考へ、これを  $m_i$  とし、タワーの下端は固定端で、その基礎(底)は水平方向へのみ振動するとする。図-1 にちひて  $\zeta$  は空間に固定された各座標軸から測定した質点の水平変位を表わし、 $y_i$  はタワー基礎の水平変位、 $\omega$  は地盤運動による地動である。 $y_i$  はタワーの基礎を通る鉛直線を基準にして測定した  $m_i$  の水平変位である。あきらかに、

$$\ddot{z}_i = \ddot{y}_i + \ddot{\zeta}, \quad \ddot{y}_0 = 0, \quad (i=1, 2, \dots, 8) \quad (1)$$

ケーピングがなく、点  $i$  の質点の運動方程式は、

$$i=1, 2, \dots, 7 \text{ に對して } m_i \ddot{z}_i - \frac{1}{l} (M_{i+1} - 2M_i + M_{i-1}) + \frac{P}{l} (z_{i-1} - 2z_i + z_{i+1}) = 0 \quad (2)$$

$$i=8 \text{ に對して } m_8 \ddot{z}_8 - \frac{M_8}{l} + \frac{P}{l} (z_7 - z_8) + F \cdot y_8 = 0 \quad (3)$$

$$\text{ただし } F = E_c A_c / \int_{\text{cross}}^l dx + E_s A_s / \int_{\text{cross}}^l dx \quad (4)$$

ここで  $M_i$  は点  $i$  における曲げモーメント、 $l$  はタワー一分割間隔長、 $P$  は塔頂に作用する軸方向圧縮力、下は塔頂におけるケーブルによる拘束の影響をあらわし、 $E_c, A_c$  はケーブルのヤング率、断面積を、 $l, l_i$  がよどむ、 $\theta_i$  は主・側径間の絶対長およびケーブルの傾斜角をあらわす。次に梁の基礎方程式  $M = EI \frac{d^2 \theta}{dx^2}$  を差分法であらわし、式(1)の関係を用ひると、結局、運動方程式(2), (3)は次のようになる。

$$\left. \begin{aligned} i=1 \text{ に對して} & \quad m_1 \ddot{y}_1 + \left\{ \frac{1}{l} (2B_0 + 4B_1 + B_2) - \frac{2P}{l} \right\} \ddot{y}_1 + \left\{ -\frac{2}{l} (B_1 + B_2) + \frac{P}{l} \right\} \ddot{y}_2 + \frac{B_2}{l} \ddot{y}_3 = -m_1 \ddot{z}_1 \\ i=2 \text{ に對して} & \quad m_2 \ddot{y}_2 + \left\{ -\frac{2}{l} (B_1 + B_2) + \frac{P}{l} \right\} \ddot{y}_1 + \left\{ \frac{1}{l} (B_2 + 4B_3 + B_4) - \frac{2P}{l} \right\} \ddot{y}_2 + \left\{ -\frac{2}{l} (B_3 + B_4) + \frac{P}{l} \right\} \ddot{y}_3 + \frac{B_4}{l} \ddot{y}_4 = -m_2 \ddot{z}_2 \\ i=3 \sim 6 \text{ に對して} & \quad m_3 \ddot{y}_3 + \frac{B_3}{l} \ddot{y}_4 + \left\{ -\frac{2}{l} (B_2 + B_3) + \frac{P}{l} \right\} \ddot{y}_{3-1} + \left\{ \frac{1}{l} (B_{3-1} + 4B_4 + B_{4-1}) - \frac{2P}{l} \right\} \ddot{y}_4 \\ & \quad + \left\{ -\frac{2}{l} (B_4 + B_{4-1}) + \frac{P}{l} \right\} \ddot{y}_{4-1} + \frac{B_{4-1}}{l} \ddot{y}_{4-2} = -m_3 \ddot{z}_3 \\ i=7 \text{ に對して} & \quad m_7 \ddot{y}_7 + \left\{ -\frac{2}{l} (B_6 + B_7) + \frac{P}{l} \right\} \ddot{y}_6 + \left\{ \frac{1}{l} (B_7 + 4B_8) - \frac{2P}{l} \right\} \ddot{y}_7 + \left\{ -\frac{2}{l} + \frac{P}{l} \right\} \ddot{y}_8 = -m_7 \ddot{z}_7 \\ i=8 \text{ に對して} & \quad m_8 \ddot{y}_8 + \frac{B_8}{l} \ddot{y}_7 + \left\{ -\frac{2}{l} + \frac{P}{l} \right\} \ddot{y}_7 + \left( \frac{B_7}{l} - \frac{P}{l} + F \right) \ddot{y}_8 = -m_8 \ddot{z}_8 \\ \text{二二式} & \quad \ddot{z}_i = \frac{EI}{l} \ddot{\theta}_i \quad \text{ただし } I_i \text{ は点 } i \text{ の断面二次モーメント} \end{aligned} \right\} \quad (5)$$

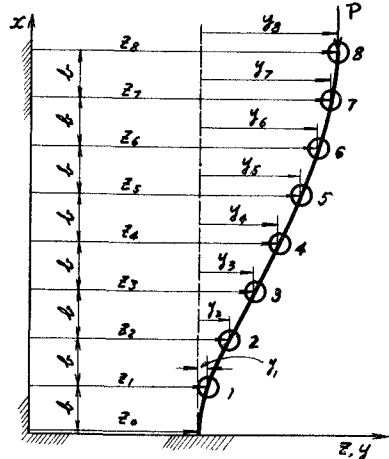


図-1

### 3. モード分析

(5)式は一般的に書けば

$$m_i \ddot{y}_i + \sum_{r=1}^n a_{ir} y_r = -m_i \ddot{z}_o \quad (i=1, 2, \dots, n) \quad (6)$$

今、点*i*のため  $y_i$  が次式でおおむねされたとしよう。

$$y_i = \sum_{k=1}^n f_k Y_i^{(k)} \quad (7)$$

ここで  $Y_i^{(k)}$  は(6)式において、右次の固有値  $\lambda_k$  に属する点*i*の振動モードであり、

$$\lambda_k = m_i Y_i^{(k)} = \sum_{r=1}^n a_{ir} Y_r^{(k)} \quad (8)$$

から求められ、 $f_k$  は時間  $t$  のみに依存する関数であり、また  $f_k$  は次式で与へられる。

$$f_k = \sum_{n=1}^n m_n Y_n^{(k)} / \sum_{n=1}^n m_n [Y_n^{(k)}]^2 \quad (9)$$

この式で正規化されていいる場合は、 $n$  の分母は 1 となる。(6)式に(7)式を代入して、両辺に  $Y_i^{(k)}$  をかけて、 $i=1$  から  $n$  まで合計し、(8)式およびモード間の直交条件を用いて変形すると結局次式のようになる。

$$\ddot{y}_i + \lambda_i y_i = -\ddot{z}_o, \quad (i=1, 2, \dots, n) \quad (10)$$

ダンピングがない場合、 $i$  の解  $y_i(t)$  は次式のようになる。

$$y_i(t) = -\frac{1}{\omega_i} \int_0^t \ddot{z}_o(\tau) \sin \omega_i(t-\tau) d\tau \quad (11)$$

ここに  $\omega_i$  は、 $i$  次振動の円振動数である。結局、ダンピングのない場合の  $i$  次自由振動系の運動方程式(10)は、モード分析を行なうによって、最も簡単な一自由度系の運動方程式(10)に還元される。

### 4. 地震波のスペクトル分析

(11)式におおむねした積分は、時間  $t$  の関数であるが、実際の耐震計算に重要なのは、その最大値である。次式で定義された  $S_p$  は速度スペクトルと呼ばれている。

$$\text{ダンピングのない場合} \quad S_p = \left[ \int_0^{\infty} \ddot{z}_o(\tau) \sin \omega_i(t-\tau) d\tau \right]_{\max} \quad (11)$$

$$\text{ダンピングのある場合} \quad S_p = \left[ \int_0^{\infty} \ddot{z}_o(\tau) e^{-\beta \omega_i \sqrt{1-\beta^2}(t-\tau)} \sin \omega_i \sqrt{1-\beta^2}(t-\tau) d\tau \right]_{\max} \quad (12)$$

ここに  $\beta = \frac{\beta}{\omega_i}$  ただし  $\beta$  は damping factor である。

### 5. 構造物のレスポンス

$$\text{上の } S_p \text{ を用ひよどり, } y_{i,\max} = \frac{1}{\omega_i} \cdot S_p \quad (13)$$

$$\text{したがて, タワーの点 } i \text{ の最大変位は: } y_{i,\max} \leq \sum_{j=1}^n |f_j Y_j^{(k)} y_{j,\max}| \quad (14)$$

$$\text{最大曲げモーメント: } M_{i,\max} \leq \frac{B_d}{L} \sum_{j=1}^n |f_j Y_j^{(k)} y_{j,\max}| \quad (15)$$

$$i=1, 2, \dots, 7 \text{ に對して } M_{i,\max} \leq \frac{B_d}{L} \sum_{j=1}^n |f_j (Y_{i+1}^{(k)} - 2Y_i^{(k)} + Y_{i-1}^{(k)}) y_{j,\max}| \quad (16)$$

$$\text{最大剪断力: } Q_{i,\max} \leq \frac{B_d}{2L} \sum_{j=1}^n |f_j (3Y_{i+1}^{(k)} - 3Y_i^{(k)} + Y_{i-1}^{(k)}) y_{j,\max}| \quad (17)$$

$$i=1 \text{ に對して } Q_{i,\max} \leq \frac{B_d}{2L} \sum_{j=1}^n |f_j (Y_2^{(k)} + 2Y_1^{(k)} - Y_3^{(k)}) y_{j,\max}| \quad (18)$$

$$i=2, \dots, 6 \text{ に對して } Q_{i,\max} \leq \frac{B_d}{2L} \sum_{j=1}^n |f_j (Y_{i+2}^{(k)} - 2Y_{i+1}^{(k)} + 2Y_{i-1}^{(k)} - Y_{i-2}^{(k)}) y_{j,\max}| \quad (19)$$

$$i=7 \text{ に對して } Q_{i,\max} \leq \frac{B_d}{2L} \sum_{j=1}^n |f_j (Y_5^{(k)} - 2Y_6^{(k)} + Y_7^{(k)}) y_{j,\max}| \quad (20)$$

### 6. 数値計算例・結論

これらにつけては講演会当日 会場で発表する。